arXiv:1611.01044v2 [math.NT] 14 Nov 2016

PÉRIODES p-ADIQUES DE LA COURBE MODULAIRE $X(\Gamma_0(p) \cap \Gamma(2))$.

ADEL BETINA ET EMMANUEL LECOUTURIER

Résumé. Dans ce travail, on démontre une variante de la conjecture d'Oesterlé pour les courbes modulaires avec une structure de niveau $\Gamma(2) \cap \Gamma_0(p)$ (et aussi $\Gamma(3) \cap \Gamma_0(p)$ si $p \equiv 1 \pmod 3$). Notre approche utilise les techniques de de Shalit et l'uniformisation p-adique des courbes rigides dont la réduction est semi-stable.

Table des matières

1. Introduction 2
Notations 2
2. Schéma en courbe de l'espace de module des courbes elliptiques généralisées 3
3. Uniformisation p-adique et l'application réduction 7
4. Extension de Φ à $\mathbf{Z}[S] \times \mathbf{Z}[S]$ 10
4.1. Extension de Φ à $\mathbf{Z}[S]^0 \times \mathbf{Z}[S]$ 11
5. Extension de Φ à $\mathbf{Z}[S] \times \mathbf{Z}[S]$ 12
5.1. L'involution d'Atkin–Lehner sur $\mathfrak{H}_\Gamma$ 12
5.2. Définition de Φ 12
6. Preuve du théorème principal 13
6.1. Cas $i \neq j$ 13
6.2. Cas $i = j$ 15
7. Appendice : quelques rappels sur $M_{\Gamma(N)\cap\Gamma_0(p)}(\mathbf{C})$ 17
7.1. Cas $N = 2$ 18
7.2. Cas $N = 3$ 19
Références 20

1. Introduction

Soit $X_0(p)$ le modèle régulier, propre et plat sur $\mathbf{Z}_p$ de la courbe modulaire de niveau $\Gamma_0(p)$ (i.e $\Gamma_0(p)\backslash\mathcal{H} \cup \mathbf{P}^1(\mathbf{Q})$) obtenu grâce à des éclatements du schéma de modules grossier du champ algébrique $\mathfrak{M}_{\Gamma_0(p)}$ construit dans [1]. Deligne et Rapoport ont montré que la fibre spéciale de $X_0(p)$ est formée de deux composantes isomorphes à $X(1)_{\mathbf{F}_p} \simeq \mathbf{P}^1_{\mathbf{F}_p}$ et qui se coupent transversalement en les points supersinguliers (i.e que $X_0(p)$ est semi-stable). Soit K l'extension quadratique non ramifié de $\mathbf{Q}_p$, $\mathcal{O}_K$ l'anneau des entiers de K, k son corps résiduel et $X_0^{rig}(p)_K$ la variété rigide associée à la courbe $X_0(p)_K$. On remarque que les points supersinguliers de la fibre spéciale de $X_0(p)_{\mathbf{F}_p}$ sont k-rationnels.

Le théorème de Mumford [5] implique que $X_0^{rig}(p)_K$ est le quotient de $\mathcal{H}_\Gamma = \mathbf{P}^1_K(\mathbf{C}_p) - \mathcal{L}$ par un groupe de Schottky Γ où $\mathcal{L}$ sont les points limites de Γ. De plus, on a un accouplement $\Phi : \Gamma^{ab} \times \Gamma^{ab} \to K^\times$ construit par Drinfeld et Manin dans [3]. Cet accouplement fournit une uniformisation p-adique de la jacobienne de $X_0(p)$.

Soit Δ le graphe dual de la fibre spéciale de $X_0(p)$. La construction de Mumford assure que Γ est isomorphe à $\pi_1(\Delta)$. Les arêtes de Δ correspondent aux points supersinguliers de la fibre spéciale de $X_0(p)$ et les sommets correspondent aux deux composantes irréductibles de la fibre spéciale de $X_0(p)_{\mathcal{O}_K}$. Oesterlé a conjecturé que l'accouplement Φ pouvait s'exprimer en termes de l'invariant modulaire j et de Shalit a démontré cette conjecture dans [6] (modulo un signe dans certains cas). Le but de cet article est de démontrer une variante de la conjecture d'Oesterlé pour les courbes modulaires de niveau $\Gamma_0(p) \cap \Gamma(2)$ en remplaçant j par l'invariant modulaire λ.

Notations

(i) Pour tout champ algébrique X sur $\operatorname{Spec} A$, et pour tout morphisme $A \to B$, on notera X_B le produit fibre $X \times_{\operatorname{Spec} A} \operatorname{Spec} B$.

(ii) Pour toute extension algébrique k du corps $\mathbf{Z}/p\mathbf{Z}$, on notera $W(k)$ l'anneau des vecteurs de Witt associé à k.

(iii) Pour tout sous groupe de congruence Γ de $\mathrm{SL}_2(\mathbf{Z})$, on notera $\mathfrak{M}_\Gamma$ le champ qui classifie les courbes elliptiques généralisées avec une Γ-structure.

(iv) Pour deux sous groupes de congruences Γ et L, on notera $\mathfrak{m}_{\Gamma\cap L}$ le produit fibré du champ $\mathfrak{M}_\Gamma \times_{\mathfrak{M}} \mathfrak{M}_L$, où $\mathfrak{M}$ est le champ qui classifie les courbes elliptiques généralisées ($\mathfrak{M}$ n'est pas algébrique).

(v) Pour tout champ algébrique $\mathfrak{M}_\Gamma$, on notera M_Γ l'espace algébrique grossier de modules associé.

(vi) Pour tout schéma $\mathfrak{X}$ propre et plat sur $\mathcal{O}_K$, on notera $\mathfrak{X}_K^{rig}$ la variété analytique rigide associée à $\mathfrak{X}$ (i.e $\mathfrak{X}_K(\bar{K})\simeq\mathfrak{X}_K^{rig}(\bar{K})\simeq\mathfrak{X}^{an}(\bar{K})$).

On renvoie à [1, III] pour plus de détails sur les champs définis ci-dessus.

Théorème 1.1.

(i) *Soit $\mathfrak{X}$ le schéma grossier de modules de type fini, plat et normal sur* $\operatorname{Spec}\mathcal{O}_K$ *associé au champ algébrique $\mathfrak{M}_{\Gamma_0(p)\cap\Gamma(2)}$. Alors $\mathfrak{X}$ est régulier, semi-stable et les points singuliers de sa fibre spéciale sont k-rationnels.*

(ii) *Soit $S:=\{e_i\}$ l'ensemble des points supersinguliers de $\mathfrak{X}_k$. Soit $\Gamma\subset\mathrm{PGL}_2(K)$ le groupe de Schottky tel qu'il existe un isomorphisme entre variétés rigides $\mathfrak{H}_\Gamma/\Gamma\simeq\mathfrak{X}_K^{rig}$ (c'est l'uniformisation p-adique), où $\mathfrak{H}_\Gamma=\mathbf{P}^1_K-\mathcal{L}$ et $\mathcal{L}$ sont les points limites de Γ, alors l'accouplement de Drinfeld $\Phi:\Gamma^{ab}\times\Gamma^{ab}\to K^\times$ est à valeurs dans $\mathbf{Q}_p^\times$.*

(iii) *Soit $\bar{\Phi}$ l'accouplement résiduel* $\bmod U_1(\mathbf{Q}_p^\times)$ *(i.e mod les unités principales), alors $\bar{\Phi}$ s'étend à un accouplement sur $\mathbf{Z}[S]\times\mathbf{Z}[S]$ après l'identification $\Gamma^{ab}\simeq H_1(\Delta,\mathbf{Z})\simeq\mathbf{Z}[S]_0$ et s'exprime de la manière suivante (Δ est le graph dual de $\mathfrak{X}_k$) :*

$$\bar{\Phi}(e_i,e_j)=\begin{cases}(\lambda(e_i)-\lambda(e_j))^{\frac{p+1}{2}} & \text{si } i\neq j\ ;\\ p\prod_{k\neq i}(\lambda(e_i)-\lambda(e_k)) & \text{si } i=j.\end{cases}$$

Remarque 1. On peut prouver l'analogue de ce théorème pour $N=3$ si $p\equiv 1\pmod 3$. (cf. 7.2 de l'appendice).

2. Schéma en courbe de l'espace de module des courbes elliptiques généralisées

Soient $p\geq 5$ un nombre premier, $N\geq 2$ un entier sans facteur carré premier à p et $\mathfrak{M}_{\Gamma_0(p)\cap\Gamma(N)}$ le champ sur $\mathbf{Z}[1/N]$ dont les S-points sont les classes d'isomorphismes des courbes elliptiques généralisées E_S sur le schéma S muni d'un sous groupe A localement libre de rang p tel que $A.E_S[N]$ rencontre chaque composante irréductible de chaque fibre géométrique de E_S ($E_S[N]$ est le sous groupe de N torsion de E_S) et d'une base de la N-torsion (i.e $\alpha_N:E_S[N]\simeq(\mathbf{Z}/N\mathbf{Z})^2$). Deligne et Rapoport ont montré dans [1]

que $\mathfrak{M}_{\Gamma_0(p)\cap\Gamma(N)}$ est un champ algébrique propre, régulier, de dimension pure 2, plat et normal sur $\mathbf{Z}[1/N]$; lorsque $N \geq 3$, le champ algébrique $\mathfrak{M}_{\Gamma_0(p)\cap\Gamma(N)}$ est rigide et donc il est représentable par un schéma en courbe qui est lisse sur $\mathbf{Z}[1/Np]$.

Le champ algébrique $\mathfrak{M}_{\Gamma_0(p)\cap\Gamma(N)}$ a un espace algébrique grossier de modules $M'_{\Gamma_0(p)\cap\Gamma(N)}$ sur $\mathbf{Z}[1/N]$ et puisque ce dernier est lisse et propre sur $\mathbf{Z}[1/Np]$, $M'_{\Gamma_0(p)\cap\Gamma(N)}[1/Np]$ est un schéma en courbe, car tout espace algébrique en courbe régulier est forcément quasi-projectif (i.e c'est un schéma).

On notera par $M_{\Gamma_0(p)\cap\Gamma(N)}$ le modèle sur $\mathbf{Z}[1/N]$ de $M'_{\Gamma_0(p)\cap\Gamma(N)}[1/Np]$ donné par la normalisation le long de l'invariant modulaire $j : M'_{\Gamma_0(p)\cap\Gamma(N)}[1/Np] \to \mathbf{P}^1_{\mathbf{Z}[1/N]}$ (voir [1, §3.3]), et en utilisant les même arguments que ceux du théorème [1, §V-1.6] et des propositions [1, §3.4], [1, §3.9] et [1, §3.10], on montre que $M_{\Gamma_0(p)\cap\Gamma(N)}$ est le schéma de modules grossier du champ algébrique $\mathfrak{M}_{\Gamma_0(p)\cap\Gamma(N)}$.

D'après [1], le schéma en courbe $M_{\Gamma_0(p)\cap\Gamma(N)}$ est lisse sur $\operatorname{Spec}\mathbf{Z}[1/N]$ en dehors des points associées à des courbes elliptiques supersingulières en caractéristique p.

Les pointes de $M_{\Gamma_0(p)\cap\Gamma(N)}$ correspondent aux N-polygones ou Np-polygones de Néron et elles sont données par des sections $\operatorname{Spec}\mathbf{Z}[1/N,\zeta_N] \to \mathfrak{M}_{\Gamma_0(p)\cap\Gamma(N)}$ composées avec le morphisme canonique $\mathfrak{M}_{\Gamma_0(p)\cap\Gamma(N)} \to M_{\Gamma_0(p)\cap\Gamma(N)}$.

Remarque 2. Le genre de la courbe modulaire $\Gamma(N)\backslash\mathcal{H} \cup \mathbf{P}^1(\mathbf{Q})$ est nul ssi $N \in \{1,2,3,4,5\}$.

En réutilisant les techniques de Deligne et Rappoport (cf. [1] Théorème 6.9 où cependant les auteurs travaillent sur $\overline{\mathbf{F}}_p$), on montre la proposition suivante.

Proposition 2.1. *La fibre spéciale en p du schéma en courbe $M_{\Gamma_0(p)\cap\Gamma(2)}\otimes\mathcal{O}_K$ est l'union de deux copies de $\mathbf{P}^1_k$ qui se coupent transversalement en les points associés aux courbes elliptiques supersingulières, un point supersingulier de la première copie s'identifiant à l'image par Frobenius de ce point sur la seconde copie.*

Démonstration. Le schéma en courbe $M_{\Gamma(2)}$ est lisse et propre sur $\operatorname{Spec}\mathbf{Z}[1/2]$, et donc plat ; ainsi la fonction genre en chaque fibre est localement constante (car la caractéristique d'Euler est localement constante sur les fibres d'une famille propre et plate). Les corollaires [1, 5.5] et [1, 5.6] impliquent que les fibres de $M_{\Gamma(2)}$ sur $\operatorname{Spec}\mathbf{Z}[1/2]$ sont connexes et lisses, donc $M_{\Gamma(2)}$ est irréductible. De plus, le fait que les schémas de modules grossier commutent avec les changements bases plats, implique que

$$M_{\Gamma(2)}\otimes\mathbf{C} \simeq \Gamma(2)\backslash(\mathcal{H} \cup \mathbf{P}^1(\mathbf{Q})).$$

D'après la proposition [2, 7.9], le genre est localement constant sur $\operatorname{Spec}\mathbf{Z}[1/2]$, et donc il est constant puisque $\mathbf{Z}[1/2]$ est intègre, alors le genre en chaque fibre de $M_{\Gamma(2)}$ est constant et est égale à 0. Ainsi le genre de la fibre spéciale $M_{\Gamma(2)}$ en p est égal à zéro.

Les pointes de $M_{\Gamma(2)}$ correspondent aux polygones de Néron à 2-côtés et elles sont données par des sections $\operatorname{Spec}\mathbf{Z}[1/2]\to\mathfrak{M}_{\Gamma(2)}$. Ainsi $M_{\Gamma(2)}\otimes\mathbf{F}_p$ est de genre zéro, absolument irréductible, lisse et a un point $\mathbf{F}_p$-rationnel, donc il est isomorphe à la droite projective $\mathbf{P}^1_{\mathbf{F}_p}$.

On note par $\mathfrak{M}^0_{\Gamma(2)}$ (resp. $\mathfrak{M}^0_{\Gamma_0(p)\cap\Gamma(2)}$) le sous champ ouvert de $\mathfrak{M}_{\Gamma(2)}$ (resp. $\mathfrak{M}^0_{\Gamma_0(p)\cap\Gamma(2)}$) correspondant aux courbes elliptiques. Après un changement de base à $\mathbf{F}_p$, on a les applications suivante entre champs algébriques (voir [1, §5]) :

$$
\begin{aligned}
&\phi_1 : \mathfrak{M}^0_{\Gamma(2)}\otimes\mathbf{F}_p \to \mathfrak{M}_{\Gamma_0(p)\cap\Gamma(2)}\otimes\mathbf{F}_p : (E,\alpha_2)\to(E,\alpha_2,\ker\mathrm{Frob}_p)\\
&w_p : \mathfrak{M}_{\Gamma_0(p)\cap\Gamma(2)}\otimes\mathbf{F}_p \simeq \mathfrak{M}_{\Gamma_0(p)\cap\Gamma(2)}\otimes\mathbf{F}_p : (E,H,\alpha_2)\to(E/H,E[p]/H,\alpha_2)\\
&c : \mathfrak{M}^0_{\Gamma_0(p)\cap\Gamma(2)}\otimes\mathbf{F}_p \to \mathfrak{M}^0_{\Gamma(2)}\otimes\mathbf{F}_p : (E,\alpha_2,H)\to(E,\alpha_2)
\end{aligned}
\tag{1}
$$

Le morphisme w_p est une involution car $w_p^2(E,H,\alpha_2)=(E,H,p.\alpha_2)$ et $p\equiv 1 \pmod 2$; on remarque aussi que $c\circ w_p\circ\phi_1$ est le Frobenius.

Le champ algébrique $\mathfrak{M}_{\Gamma_0(p)\cap\Gamma(2)}$ est de Cohen–Macaulay, car il est normal et de dimension pure égale à 2. Comme il est plat sur $\mathbf{Z}[1/2]$, il est de Cohen–Macaulay sur $\mathbf{Z}[1/2]$ donc $\mathfrak{M}_{\Gamma_0(p)\cap\Gamma(2)}\otimes\mathbf{F}_p$ est Cohen–Macaulay. Puisque de plus ce dernier est génériquement réduit (car il est régulier en dehors des pointes et en dehors des points supersinguliers), il est réduit. Ainsi son schéma grossier de modules est réduit également, donc on a un isomorphisme entre le schéma de module grossier de $\mathfrak{M}_{\Gamma_0(p)\cap\Gamma(2)}\otimes\mathbf{F}_p$ et $M_{\Gamma_0(p)\cap\Gamma(2)}\otimes\mathbf{F}_p$ (voir [1, 6.10]).

En passant aux modèles grossiers et après un changement de base à $\mathcal{O}_K$, la proposition [1, 1.18] et le théorème [1, 6.9] implique que la courbe $M_{\Gamma_0(p)\cap\Gamma(2)}\otimes k$ s'obtient en recollant deux copies de $M_{\Gamma(2)}\otimes k\simeq\mathbf{P}^1_k$ sur les points supersinguliers en identifiant chaque point supersingulier (E,α_2) de la première copie sur le point supersingulier (F,β_2) de la deuxième copie vérifiant $c\circ w_p\circ\phi_1(F,\beta_2)=(E,\alpha_2)$. L'intersection des deux branches est transversale. En effet, les vecteurs tangents aux deux branches sont linéairement indépendants puisque le premier est annulé par la différentielle de c et n'est pas annulé par la différentielle de $c\circ w_p$, et l'autre est annulé par la différentielle de $c\circ w_p$ et n'est pas annulé par la différentielle de c. En effet la différentielle de Frobenius est nulle et $c\circ w_p\circ\phi_1$ est le morphisme Frobenius. De plus $c\circ\phi_1$ est l'identité et enfin $c\circ w_p^2\circ\phi_1$ est

un automorphism de $M_{\Gamma(2)}\otimes\mathbf{F}_p$ qui envoie (E,H,α_2) sur $(E,H,p.\alpha_2)$ et c'est l'identité car $p\equiv 1 \pmod 2$.

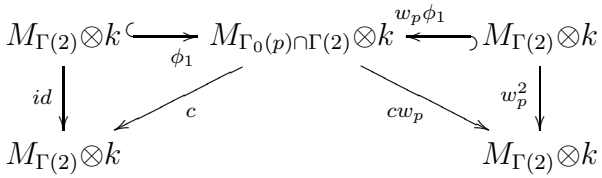

□

On a étendu par changement de base nos variétés à K, car les points supersinguliers de la fibre spéciale de $M_{\Gamma_0(p)\cap\Gamma(2)}\otimes\mathcal{O}_K$ sont k-rationnels (pour se mettre dans les hypothèses de [5]).

Lemme 2.2. *Le schéma grossier de modules $\mathfrak{X}=M_{\Gamma_0(p)\cap\Gamma(2)}\otimes\mathcal{O}_K$ de $\mathfrak{M}_{\Gamma_0(p)\cap\Gamma(2)}\otimes\mathcal{O}_K$ est régulier.*

Démonstration. Notons qu'un anneau est régulier ssi son stricte Hensélianisé l'est.

Soit $x:\mathrm{Spec}(k(x))\to\mathfrak{M}_{\Gamma_0(p)\cap\Gamma(2)}\otimes\mathcal{O}_K$ un point géométrique singulier (donc il correspond à une courbe elliptique supersingulière), $\mathcal{O}^h_{(\mathfrak{M}_{\Gamma_0(p)\cap\Gamma(2)})_{\mathcal{O}_K},x}$ le Henselianisé stricte de l'anneau local de $\mathfrak{M}_{\Gamma_0(p)\cap\Gamma(2)}\otimes\mathcal{O}_K$ en x, $\pi:\mathfrak{M}_{\Gamma_0(p)\cap\Gamma(2)}\otimes\mathcal{O}_K\to\mathfrak{X}$ le morphisme canonique d'espaces de modules, $\mathcal{O}^h_{\mathfrak{X},\pi(x)}$ l'Henselianisé stricte de $\mathfrak{X}$ en $\pi(x)$ et $\mathrm{auto}(x)$ le groupe des automorphismes de l'object associé à x sur $\mathrm{Spec}\,k(x)$, alors on a l'isomorphisme suivant :

$$\mathcal{O}^h_{\mathfrak{X},\pi(x)}\simeq(\mathcal{O}^h_{(\mathfrak{M}_{\Gamma_0(p)\cap\Gamma(2)})_{\mathcal{O}_K},x})^{\mathrm{auto}(x)}$$

La proposition [1, V-1.20] implique que l'Henselianisé strict de $\mathfrak{M}_{\Gamma_0(p)\cap\Gamma(N)}\otimes\mathcal{O}_K$ en x est formellement isomorphe à $W(\bar{k})[[X,Y]]/(XY-p)$. Grâce au théorème [1, 6.9], le complété formel de l'anneau local de $\mathfrak{X}_{W(\bar{k})}$ en un point singulier x est formellement isomorphe à $W(\bar{k})[[X,Y]]/(XY-p^n)$, où n est le cardinal du groupe d'automorphismes mod $\{-1,1\}$ d'une classe de (E,α_2), où E est une courbe elliptique supersinguliere associée au point x et α_2 est une structure de niveau $\Gamma(2)$ de E. Or les éventuels automorphismes E differents de $\{-1,1\}$ agissent non trivialement sur α_2, ainsi $n=1$.

□

Remarque 3. Pour $N=3$, les fibres géométriques du morphisme entre schémas $M_{\Gamma(3)}[1/3]\to\mathrm{Spec}\,\mathbf{Z}[1/3,\zeta_3]$ sont de genre 0, irréductibles et lisses. Cependant, elles ne sont pas irréductibles sur $\mathbf{Z}$ (voir [1]). D'autre part, Deligne-Rapoport ont montré dans [1, 6.8]

que pour $H \subset \mathrm{GL}_2(\mathbf{Z}/3\mathbf{Z})$, les fibres du morphisme $M_H[1/3] \to \mathrm{Spec}\,\mathbf{Z}[1/3,\zeta_3]^H$ sont de genre zéro et lisses. Donc, si on choisit K tel que $\mathbf{Z}[1/3,\zeta_3]^K = \mathbf{Z}[1/3]$ et $M_K[1/3](\mathbf{C}) = \Gamma(3)\backslash\mathcal{H}\cup\mathbf{P}^1(\mathbf{Q})$, alors le théorème [1, 6.9] implique que les singularitès de la fibre spéciale en p du schéma $M_{K\cap\Gamma_0(p)}[1/3]$ sont ordinaires et que le schéma $M_{K\cap\Gamma_0(p)}[1/3]$ est régulier. On peut donc généraliser la proposition 2.1 pour $M_{K\cap\Gamma_0(p)}[1/3]$.

Proposition 2.3. *Le Lambda invariant modulaire induit un isomorphisme*

$$\lambda : X(\Gamma_0(p)\cap\Gamma(2))_{\mathbf{Q}} \simeq \mathbf{P}^1_{\mathbf{Q}}.$$

Démonstration. Soit E_λ la courbe elliptique sur $\mathbf{A}^1_{\mathbf{Q}}$ définie par l'equation

$$Y^2 = X(X-1)(X-\lambda) \text{ où } \lambda \in \mathbf{Q}[T]\ .$$

Elle induit un morphisme naturel $\mathbf{A}^1_{\mathbf{Q}} \to \mathfrak{M}(\Gamma_0(p)\cap\Gamma(2))_{\mathbf{Q}}$ et donc un morphisme $g : \mathbf{A}^1_{\mathbf{Q}} \to M_{\Gamma_0(p)\cap\Gamma(2)}\otimes\mathbf{Q}$ qui se prolonge en un morphisme $g : \mathbf{P}^1_{\mathbf{Q}} \to M_{\Gamma_0(p)\cap\Gamma(2)}\otimes\mathbf{Q}$.

De plus, la propriété universelle des schémas grossier de modules implique que le morphisme canonique $\mathfrak{M}_{\Gamma_0(p)\cap\Gamma(2)} \to M_{\Gamma_0(p)\cap\Gamma(2)}$ induit un isomorphisme $\mathfrak{M}_{\Gamma_0(p)\cap\Gamma(2)}(K) \simeq M_{\Gamma_0(p)\cap\Gamma(2)}(K)$ pour tout corps K. Ainsi g est un isomorphisme et λ est son inverse. □

3. Uniformisation p-adique et l'application réduction

Les section globales de $\mathcal{O}_{\mathbf{P}^1_K(1)}$ sont engendrées par X et Y, après l'identification $\mathrm{Proj}K[X,Y] \simeq \mathbf{P}^1_K$, et grâce au foncteur GAGA on déduit que les automorphismes de la droite projective rigide $\mathbf{P}^{1,rig}_K$ contiennent $\mathrm{PGL}_2(K)$. Le théorème de Mumford [5] assure qu'il existe un sous groupe libre de Schottky $\Gamma \subset \mathrm{PGL}_2(K)$ et un morphisme de variétés rigides $\mathrm{Gal}(\bar{K}/K)$-équivariant :

$$\tau : \mathfrak{H}_\Gamma \to \mathfrak{X}^{rig}_K$$

tel que la variété rigide $\mathfrak{X}^{rig}_K$ est isomorphe à $\mathfrak{H}_\Gamma/\Gamma$ où l'ouvert rigide $\mathfrak{H}_\Gamma = \mathbf{P}^1_K(\mathbf{C}_p) - \mathcal{L}$ et $\mathcal{L}$ sont les points limite de Γ. De plus, on a une application continue qu'on appelera réduction $\rho : \mathfrak{H}_\Gamma \to \mathcal{T}_\Gamma$, où $\mathcal{T}_\Gamma$ est le sous arbre de l'arbre de Bruhat-Tits pour $\mathrm{PGL}_2(K)$ engendré par les axes dont les fins correspondent aux points limites de Γ.

L'application ρ vérifie les propriétés suivantes (voir [5]) :

Proposition 3.1.

(i) *L'image réciproque d'un sommet v de $\mathcal{T}_\Gamma$ est isomorphe au disque unité fermé privé des disques rationnels ouverts maximaux (i.e $\rho^{-1}(v) = D(0,1]-\cup D(a_i,1[$).*

(ii) *L'image réciproque d'une arête est isomorphe à une couronne de hauteur* $r \in |K^\times|_p$.

(iii) *Si on munit le graphe* $\mathcal{T}_\Gamma$ *de la topologie naturelle qui identifie une arête au segment* $[0,1]$*, alors* ρ *est continue.*

(iv) *Si on note par* Δ *le graphe dual de la fibre spéciale de* $\mathfrak{X}$*, alors* $\Delta \simeq \mathcal{T}_\Gamma/\Gamma$ *et* $\mathrm{H}_1(\Delta, \mathbf{Z}) \simeq \Gamma^{ab} \simeq \mathbf{Z}[S]^0$*, où* $\mathbf{Z}[S]^0$ *est l'idéal d'augmentation de* $\mathbf{Z}[S]$.

Mumford a construit un modèle formel Ω de $\mathfrak{H}_\Gamma$ qui est localement topologiquement de type fini sur $\mathrm{Spf}(\mathcal{O}_K)$, tel que le graphe dual de la fibre spéciale de Ω est isomorphe à $\mathcal{T}_\Gamma$ et le passage à la fibre spéciale est compatible avec l'action de Γ. Les propriétés suivantes sur ρ et l'arbre $\mathcal{T}_\Gamma$ découle immédiatement de la preuve de Mumford (voir [5]).

Proposition 3.2.

(i) *La réduction standard de la droite projective* $\mathbf{P}^1_K$ *est* $\mathbf{P}^1_k$*; cette dernière envoie le cercle unité vers* $\mathbf{P}^1_k - \{\infty, 0\}$*, le disque unité ouvert vers* $0 \in \mathbf{P}^1_k$ *et le complémentaire du disque unité fermé vers* $\infty \in \mathbf{P}^1_k$.

(ii) *La réduction standard de l'affinoïde* A *qui est le disque unité fermé privé de disques rationnels maximaux* $D(a_i, 1[$ *(i.e* $A = \mathrm{Max}\, K\!<\!T\!>_{\prod_i (T-a_i)}$ *et* $|a_i|_p \leq 1$*) est la droite projective* $\mathbf{P}^1_k - \{0, \infty\}$ *moins les points* $\pi(a_i)$*, où* π *est la réduction standard* $\mod \pi_k$*, où* π_K *est une uniformisante de* $\mathcal{O}_K$.

(iii) *Si* v *un sommet de* $\mathcal{T}_\Gamma$ *qui possède* $k+1$ *voisins notés* v_i *pour* $1 \leq i \leq k+1$*, alors* $\rho^{-1}(v)$ *est isomorphe au disque unité fermé* $D(0,1]$ *moins* k *disques maximaux ouverts* $D(a_i, 1[$*. Chacun des disques* $D(a_i, 1[$ *contient l'image réciproque par* ρ *d'un unique voisin* v_i *de* v*, i.e* $\rho^{-1}(v_i) \subset D(a_i, r_i] \subset D(a_i, 1[$ *pour un unique voisin* v_i *de* v*, et il existe un unique voisin de* v_{i_0} *tel que* $\rho^{-1}(v_{i_0}) \subset D(0, r_{i_0}]$ *avec* $r_{i_0} < 1$*, et les couronnes* $D(a_i, 1[- D(a_i, r_i]$ *pour* $i \neq i_0$ *ou* $D(0, 1[- D(0, r_{i_0}]$ *se réduisent respectivement sur les arêtes qui relient* v *à* v_i *et* v *à* v_{i_0}.

La fibre spéciale de $\mathfrak{X}$ a deux composantes irréductibles, et chaque composante possède 3 pointes. La première a pour pointes les polygones de Néron qui ont 2 côtés et la deuxième les polygones de Néron à $2p$ cotés. L'involution w_p envoie un polygone de Néron à $2p$ côtés vers un polygone de Néron à 2 côtés, car le quotient d'un polygone de Néron à $2p$ coté par l'unique sous groupe cyclique étale d'ordre p (i.e $\mathbf{Z}/p\mathbf{Z}$) du lieu lisse donne un polygone de Néron à 2 coté ($\mathbf{Z}/p\mathbf{Z}$ agit par rotation, voir [1, 1.18]).

Soient $c = 1$ et $c' = -1/p$ des pointes de $M_{\Gamma_0(p)\cap\Gamma(2)}(\mathbf{C})$. Comme ces dernières sont $\mathbf{Q}$-rationnelles et que $M_{\Gamma_0(p)\cap\Gamma(2)}$ est propre sur $\mathbf{Z}[1/2]$. Le critère valuatif, implique qu'il

existe $\xi_c : \mathrm{Spec}\,\mathbf{Z}_p \to \mathfrak{X}$ (resp. $\xi_{c'} : \mathrm{Spec}\,\mathbf{Z}_p \to \mathfrak{X}$) des pointes, qui donnent les pointe c et c' de $M_{\Gamma_0(p)\cap\Gamma(2)}(\mathbf{C})$ (resp. $w_p(c) = c'$).

La pointe ξ_c correspond à un polygone de Néron à $2p$-côtés et $\xi_{c'} = w_p(\xi_c)$ est une pointe qui correspond à un polygone de Néron à 2-côtés. La fibre spéciale de $\mathfrak{X}$ a deux composantes irréductibles. L'une classifie les courbes elliptiques ou des polygones de Néron à $2p$-côtés sur $\bar{k}$ avec un sous groupe d'ordre p étale et une base de la 2-torsion, et l'autre classifie les courbes elliptiques ou des polygones de Néron à 2-côtés sur $\bar{k}$ avec un sous groupe d'ordre p multiplicatif et une base de la 2-torsion.

Le graphe dual Δ de la fibre spéciale de $\mathfrak{X}$ a deux sommets $v_{c'}$ et v_c indexés respectivement par rapport aux pointes $\xi_{c'}$ et ξ_c. Il y a $g+1$ arêtes e_i qui correspondent aux courbes elliptiques supersingulières. L'involution w_p échange les deux sommets $v_{c'}$ et v_c et agit aussi sur les arêtes. Plus précisément, si E_i est une courbe elliptiques supersingulière associée à e_i, alors $w_p(e_i) = e_j$ où e_j est la courbe associée à $E_i^p = w_p(E_i)$ (ici w_p est le Frobenius). Grâce au lemme 3.1, on peut identifier les générateurs $\{\gamma_i\}_{1\leq i\leq g+1}$ de Γ avec $(e_i - e_0)_{1\leq i\leq g+1}$.

Soient $\tilde{v}_c$ et $\tilde{v}_{c'}$ deux sommets voisins de l'arbre $\mathcal{T}_\Gamma$ qui se réduisent respectivement sur $v_{c'}$ et v_c, $A = \rho^{-1}(\tilde{v}_c)$ et $A' = \rho^{-1}(\tilde{v}_{c'})$. La proposition 3.2 implique que A (resp. A') est le complémentaire de $g+1$ disques ouverts dans $\mathbf{P}^1_K$, ainsi $\mathbf{P}^1_K - A = \coprod_{0\leq i\leq g+1} B_i$ et $\mathbf{P}^1_K - A' = \coprod_{0\leq i\leq g+1} C'_i$ où $0 \leq i \leq g$. On indexe les disques B_i et C'_i de sorte que $A \subset C'_0$, $A' \subset B_0$, B_i et C'_i sont associés respectivement à une arête $\tilde{e}'_i$ et $\tilde{e}_i$ et qui ont respectivement pour autre sommet un voisin de $\tilde{v}_c$ et $\tilde{v}_{c'}$. On indexe les $\tilde{e}'_i$ et $\tilde{e}_i$ de sorte qu'ils se réduisent modulo Γ sur l'arête e_i de Δ.

Pour tout $0 \leq i \leq g$, $\rho^{-1}(\tilde{e}_i) = c_i$ est une couronne de C_i et $C'_i = C_i - \rho^{-1}(\tilde{e}_i)$ est un disque fermé (i.e $\mathbf{P}^1_K - (\bigcup_{0\leq i\leq g+1} \tilde{e}_i \cup \tilde{v}_\infty) = \coprod_{0\leq i\leq g+1} C_i$) ; et on a aussi $\mathbf{P}^1_K - C_0 = B_0$.

On remarque que $\tilde{v}_c \cup \tilde{v}_{c'} \cup_i \{\tilde{e}_i\}$ est un domain fondamentale de $\mathcal{T}_\Gamma$, donc

$$D = \mathbf{P}^1_K - \coprod_{1\leq i\leq g} B_i \coprod_{1\leq i\leq g} C_i$$

est un domaine fondamental de $\mathfrak{H}_\Gamma$.

En utilisant les même arguments que ceux utilisés dans [6, §1], on a le lemme suivant :

Lemme 3.3. *On peut choisir Γ de sorte qu'on a une base de Schottky $\alpha_1, ...\alpha_g$ de Γ, et un domaine fondamental D vérifiant les conditions suivantes :*

(i) *B_i est l'ouvert dans le disque unité de $\mathbf{P}^1_K$ qui se réduit sur $\lambda(e_i)^p$, $\forall 0 \leq i \leq g$.*

(ii) *Pour* $1 \leq i \leq g$, α_i *correspond sous l'identification* $\Gamma^{ab} = \mathbf{Z}[S]^0$ *à* $e_i - e_0$.

(iii) α_i *envoie* $\mathbf{P}^1_K - B_i$ *vers* C_i *d'une manière bijective et* α_i^{-1} *envoie* $\mathbf{P}^1_K - C_i$ *vers* B_i *d'une manière bijective.*

(iv) *La couronne* c_i *est isomorphe en tant qu'espace rigide à* $\{z, |p| < |z| < 1\}$.

Démonstration.

(i) La réduction standard envoie $\mathbf{P}^1_K$ vers $\mathbf{P}^1_k$. Si on restreint la réduction standard à A, on retrouve ρ, donc ρ envoie A sur $\mathbf{G}_m$ privé des $\rho(B_i \cap \mathfrak{H}_\Gamma) = \lambda(e_i)^p$.

(ii) $\mathcal{T}_\Gamma$ est le revêtement universel de Δ, ainsi $\pi_1(\Delta) \simeq \Gamma$. Soit $\tilde{v}_i$ un voisin de $\tilde{v}_{c'}$ dont l'arête vers $\tilde{v}_{c'}$ relève e_i. En utilisant la monodromie du revêtement universel $\mathcal{T}_\Gamma$ de Δ, on peut choisir α_i qui relève $e_i - e_0$, tel que $\alpha_i^{-1}(\tilde{v}_i) = \tilde{v}_c$, et par continuité de l'action de Γ sur le graphe, on voit que $\alpha_i(\mathbf{P}^1_K - B_i) = C_i$ (i.e α_i^{-1} envoie les voisins de $\tilde{v}_i$ vers les voisins de $\tilde{v}_c$). Cela montre aussi (iii).

□

4. Extension de Φ à $\mathbf{Z}[S] \times \mathbf{Z}[S]$

On renvoie le lecteur à l'article [3] pour la construction et les propriétés des fonctions thêta :

$$\forall a, b, z \in \mathfrak{H}_\Gamma,\ \theta((a)-(b), .) : \mathfrak{H}_\Gamma \to \mathbf{C}_p^\times \text{ est telle que } \theta((a)-(b), z) = \theta(a, b, z) = \prod_{\gamma \in \Gamma} \frac{z - \gamma a}{z - \gamma b}.$$

Pour tout $a, b \in \mathfrak{H}_\Gamma$, la série thêta $\theta(a, b, .)$ converge et définit une fonction rigide méromorphe sur $\mathfrak{H}_\Gamma$ et qui dépend à contante près d'une classe de conjugaison de Γ. On peut étendre thêta par linéarité aux diviseurs D de degré zéro de $\mathcal{H}_\Gamma$. De plus, la série $\theta(D, .)$ est entière si, et seulement si, $\tau_*(D) = 0$. On a la proposition suivante qui découle des travaux de [3] (voir aussi [6]).

Proposition 4.1. [3]

(i) $\theta(a, b, z) = c(a, b, \alpha)\theta(a, b, \alpha z)$, *où* $\alpha \in \Gamma$ *et* $c(a, b, \alpha\beta) = c(a, b, \alpha)c(a, b, \beta)$.

(ii) *La fonction* $u_\alpha(z) = \theta(a, \alpha a, z)$ *est indépendante de* a *et* $u_{\alpha\beta} = u_\alpha u_\beta$.

(iii) $c(a, b, \alpha) = u_\alpha(a)/u_\alpha(b)$.

(iv) $\theta(a, b, z)/\theta(a, b, z') = \theta(z, z', a)/\theta(z, z', b)$.

On rappelle aussi que le $\Phi : \mathbf{Z}[S]^0 \times \mathbf{Z}[S]^0 \to K^\times$ est définie par :

$$\Phi(\alpha,\beta) = \theta(a,\alpha a,z)/\theta(a,\alpha a,\beta z) = u_\alpha(z)/u_\alpha(\beta z).$$

On a identifié Γ^{ab} à $\mathbf{Z}[S]^0$, car $\mathcal{T}_\Gamma$ est le revêtement universel du graphe Δ.

Manin et Drinfeld ont démontré que $v_K \circ \Phi$ est définie positive (v_K est la valuation p-adique de K).

Notons que notre accouplement $\bar{\Phi} : \mathbf{Z}[S]^0 \times \mathbf{Z}[S]^0 \to \mathbf{Q}_p^\times$ ne dépend pas du choix de la fonction $\lambda : X(2)_{\mathbf{Q}} \xrightarrow{\sim} \mathbf{P}^1_{\mathbf{Q}}$. Nous allons construire une extension $\Phi : \mathbf{Z}[S] \times \mathbf{Z}[S] \to K^\times$ (qui d 'epend du choix de λ).

Lemme 4.2. *L'accouplement Φ est à valeurs dans $\mathbf{Q}_p^\times$.*

Démonstration. Puisque $p \equiv 1 \pmod 2$, l'automorphisme d'Athkin-Lehner w_p est une involution et elle agit comme le Frobenius sur $\mathfrak{X}_k$ ($c \circ w_p \circ \phi_1$ est le Frobenius en p), et donc on peut conclure en utilisant le même argument que celui utilisé dans le lemme [6, 0.4].

□

4.1. **Extension de Φ à $\mathbf{Z}[S]^0 \times \mathbf{Z}[S]$.** Pour tout $0 \le i \le g$, choisissons $\xi_c^{(i)}$ (resp. $\xi_{c'}^{(i)}$) dans $\mathfrak{H}_\Gamma$ qui se réduisent mode Γ sur les pointes $\xi_c \otimes \mathbf{Q}_p$ (resp. $\xi_{c'} \otimes \mathbf{Q}_p$), et tels que $\xi_c^{(i)}$ et $\xi_{c'}^{(i)}$ sont séparés par une couronne se réduisant sur e_i. Soient v_c et $v_{c'}$ les sommets du graphe de $\mathfrak{X}_k$ correspondant aux deux composantes irréductibles (avec v_c sur la composante irréductible contenant la pointe $\xi_c \otimes k$). Soient $\tilde{v_c}^{(i)}$ et $\tilde{v_{c'}}^{(i)}$ des sommets voisins de $\mathcal{T}_\Gamma$ au-dessus de v_c et $v_{c'}$ respectivement, séparés par une arête se réduisant sur e_i. Alors on choisit $\xi_c^{(i)}$ (resp. $\xi_{c'}^{(i)}$) dans $\rho^{-1}(\tilde{v_c}^{(i)})$ (resp. $\rho^{-1}(\tilde{v_{c'}}^{(i)})$). Si on choisit, pour tout $0 \le i \le g$, $\xi_c^{(i)} = z_0 \in A$, alors les $\xi_{c'}^{(i)}$ sont uniquement déterminés, et vérifient

$$\xi_{c'}^{(i)} = \alpha_i^{-1}(\xi_{c'}^{(0)}) \in B_i \ .$$

En effet, on a $\xi_{c'}^{(0)} \in \rho^{-1}(\tilde{v_{c'}})$ et $\alpha_i^{-1}(A') \subset \alpha_i^{-1}(\mathbf{P}^1 - C_i') \subset B_i$.

Notons que pour chaque i, le couple $(\xi_c^{(i)}, \xi_{c'}^{(i)})$ est uniquement déterminé modulo Γ. On peut supposer que $z_0 \neq \infty$.

Soit $a \in \mathfrak{H}_\Gamma$. On définit alors, pour tout $\alpha \in \Gamma$,

$$\Phi(\alpha, e_i) = \frac{\theta(a,\alpha(a),\xi_{c'}^{(i)})}{\theta(a,\alpha(a),\xi_c^{(i)})} = \frac{u_\alpha(\xi_{c'}^{(i)})}{u_\alpha(\xi_c^{(i)})} = \frac{u_\alpha(\xi_{c'}^{(i)})}{u_\alpha(z_0)} \tag{2}$$

Cette définition est indépendante du choix de a et de $(\xi_c^{(i)}, \xi_{c'}^{(i)})$, par les propriétés de θ. Comme K est complet et que $\xi_c^{(i)}$ et $\xi_{c'}^{(i)}$ sont définies sur K, Φ est à valeur dans $K^\times$.

Lemme 4.3. *L'accouplement Φ ainsi défini étend l'accouplement sur $\mathbf{Z}[S]^0 \times \mathbf{Z}[S]^0$ défini précédemment.*

Démonstration. On a grâce à la proposition 4.1 :

$$\frac{\Phi(\alpha, e_i)}{\Phi(\alpha, e_0)} = \frac{u_\alpha(\xi_{c'}^{(i)})}{u_\alpha(\xi_{c'}^{(0)})} = \frac{u_\alpha(\xi_{c'}^{(i)})}{u_\alpha\left(\alpha_i(\xi_{c'}^{(i)})\right)} = \Phi(\alpha, \alpha_i) = \Phi(\alpha, e_i - e_0) \ .$$

□

5. Extension de Φ à $\mathbf{Z}[S] \times \mathbf{Z}[S]$

Soit λ le Hauptmodul pour $M_{\Gamma(2)}$; λ induit les isomorphismes suivants

$$M_{\Gamma(2)} \otimes \mathbf{Q} \simeq \mathbf{P}^1_{\mathbf{Q}} \ , \ \mathfrak{X}_K \simeq \mathbf{P}^1_K.$$

On définit $\lambda' : \mathfrak{X}_K \to \mathbf{P}^1_K$ par $\lambda' = \lambda \circ w_p$

5.1. **L'involution d'Atkin–Lehner sur $\mathfrak{H}_\Gamma$.** L'involution d'Atkin–Lehner agit sur $\Gamma\backslash\mathcal{T}_\Gamma$ et se relève en une involution (qui inverse l'orientation) w_p de $\mathcal{T}_\Gamma$ (par propriété du revêtement universel). Par [4] ch. VII Sect. 1, il existe une unique classe dans $N(\Gamma)/\Gamma$ (où $N(\Gamma)$ est le normalisateur de Γ dans $\mathrm{PGL}_2(K)$) induisant w_p sur $\mathcal{T}_\Gamma$. On note w_p l'application ainsi obtenue sur $\mathfrak{H}_\Gamma$ (elle est bien uniquement déterminée modulo Γ seulement).

5.2. **Définition de Φ.** Fixons $0 \leq i, j \leq g$.

Soit $z \in \mathfrak{H}_\Gamma$ proche de $\xi_c^{(i)}$ et z' proche de $\xi_{c'}^{(i)}$ tels que $\tau(z) = w_p(\tau(z'))$.

On définit alors, pour $0 \leq i, j \leq g$:

$$\Phi(e_i, e_j) = \lim \lambda'(\tau(z))^2 \cdot \frac{\theta(z', z, \xi_{c'}^{(j)})}{\theta(z', z, \xi_c^{(j)})} \tag{3}$$

où z et z' tendent vers $z_c^{(i)}$ et $z_{c'}^{(i)}$ respectivement. Comme en $z = z_0$, $\lambda \circ \tau$ a un pôle simple et que le numérateur et le dénominateur ont un zéro simple et un pôle simple respectivement, $\Phi(e_i, e_j)$ est fini, et est dans $K^\times$ par complétude de K (on choisit z et z' dans K pour calculer la limite). On étend Φ bilinéairement à $\mathbf{Z}[S] \times \mathbf{Z}[S]$.

Lemme 5.1. *L'accouplement Φ ainsi défini étend l'accouplement sur $\mathbf{Z}[S] \times \mathbf{Z}[S]^0$ défini précédemment.*

Démonstration. Comme $\xi_c^{(i)} = \xi_c^{(0)} = z_0$, on a :

$$\frac{\Phi(e_i,e_j)}{\Phi(e_0,e_j)} = \lim \frac{\theta(z',z,\xi_{c'}^{(j)})}{\theta(\zeta',z,\xi_{c'}^{(j)})}\cdot\frac{\theta(\zeta',z,\xi_c^{(j)})}{\theta(z',z,\xi_c^{(j)})}$$

où $\zeta' = \alpha_i(z')$ tend vers $\xi_{c'}^{(0)}$. Comme $\frac{\theta(a,b,z)}{\theta(a,\gamma(b),z)} = \theta(a,\gamma(a),z)$ (évident d'après la définition de θ comme produit infini), on a :

$$\frac{\Phi(e_i,e_j)}{\Phi(e_0,e_j)} = \lim \frac{\theta(z',\alpha_i(z'),\xi_{c'}^{(j)})}{\theta(z',\alpha_i(z'),\xi_c^{(j)})} = \Phi(\alpha_i,e_j)\ .$$

□

6. Preuve du théorème principal

Soit $\hat{e} = \sum_{e_i\in S}[e_i] \in \mathbf{Z}[S]$ *l'élément d'Eisenstein.* Notons $\bar{\Phi}$ la réduction de Φ modulo les unités principales.

Théorème. *Si $i \neq j$, on a*

$$\overline{\Phi}(e_i,e_j) = (\lambda(e_i)-\lambda(e_j))^{p+1}\ . \tag{4}$$

$$\bar{\Phi}(e_i,\hat{e}) = p^{-1}\ . \tag{5}$$

Le reste de cet article est consacré à la preuve du théorème 6.

6.1. **Cas $i \neq j$.** Prouvons d'abord le point (4), qui est le plus simple. Fixons $0 \leq i \leq g$. On traite le cas $j = 0$ pour simplifier les notations, le cas général étant identique.

Les propriétés des fonctions theta nous donnent

$$\Phi(e_i,e_0) = \lim \lambda'(\tau(z))^2\cdot\frac{\Phi(\xi_{c'}^{(0)},\xi_c^{(0)},z')}{\Phi(\xi_{c'}^{(0)},\xi_c^{(0)},z)}\ .$$

Rappelons que $\xi_c^{(0)} = z_0 \in A$ par définition. Pour chaque $\gamma\in\Gamma$, le terme correspondant à γ dans le produit infini définissant l'expression ci-dessus est :

$$\frac{(z'-\gamma(\xi_{c'}^{(0)}))\cdot(z-\gamma(z_0))}{(z'-\gamma(z_0))\cdot(z-\gamma(\xi_{c'}^{(0)}))}$$

Lemme 6.1. *L'application $\lambda'\circ\tau : \mathfrak{H}_\Gamma \to \mathbf{P}^1_K$ préserve A et $A\cap U$ où U est le disque unité. De plus la restriction de $\lambda'\circ\tau$ à $A\cap U$ est congrue à l'identité modulo p.*

Démonstration. Par le lemme de normalisation de Γ, $\lambda' \circ \tau$ envoie $B_i \cap \mathfrak{H}_\Gamma$ dans B_i, donc stabilise $A = \mathbf{P}^1_K - \bigcup_i B_i$. De plus, la réduction $\overline{\rho} : A \overset{\lambda' \circ \tau}{\to} \mathbf{P}^1_K - \bigcup_i B_i \to \mathbf{P}^1_{\mathbf{F}_{p^2}} - \{\lambda(e_0), ..., \lambda(e_g)\}$ et la réduction standard de l'affinoïde A coïncident, par construction de la réduction de $\mathfrak{H}_\Gamma$. Donc $\lambda' \circ \tau$ est l'identité modulo p. □

Par conséquent, $\xi_c^{(0)} = z_0 \in A$ se réduit sur ∞ modulo p, i.e. n'est est pas p-intégral comme élément de K. Comme z tend vers z_0, z se réduit sur ∞ modulo p.

Soit $\gamma \neq 1 \in \Gamma$, écrit sous forme réduite $\alpha_{i_1}^{\epsilon_1}\alpha_{i_2}^{\epsilon_2} \cdot \cdot\cdot$ avec $i_k \in \{1, ..., g\}$ et $\epsilon_{i_k} \in \{1, -1\}$. Alors pour tout u dans le domaine fondamental $D = \mathbf{P}^1_K - \coprod_{1 \leq i \leq g} B_i \coprod_{1 \leq i \leq g} C_i$, on a $\gamma(u) \in B_{i_1}$ si $\epsilon_1 = -1$ et $\gamma(u) \in C_{i_1}$ sinon. Notons que $\gamma(z_0)$ n'est pas dans A, donc n'est pas dans le disque unité autour de l'infini (i.e. le disque unité autour de z_0). Par conséquent, $\gamma(z_0)$ ne se réduit pas sur l'infini modulo p.

En particulier, $\gamma(D) \subset B_{i_1}$ ou bien C_{i_1}. Donc $\frac{z - \gamma(z_0)}{z - \gamma(\xi_{c'}^{(0)})}$ est une unité principale.

Supposons de plus que $(i_1, \epsilon_1) \neq (i, -1)$. Dans ce cas, $\gamma(\xi_{c'}^{(0)})$ n'est pas dans B_i, donc n'est pas congru à z' modulo p, et $\gamma(\xi_{c'}^{(0)})$ est congru à $\gamma(z_0)$ modulo p. Par conséquent $\frac{z' - \gamma(\xi_{c'}^{(0)})}{z' - \gamma(z_0)}$ est une unité principale.

Si $\gamma = 1$, $\frac{(z' - \gamma(\xi_{c'}^{(0)})) \cdot (z - \gamma(z_0))}{(z' - \gamma(z_0)) \cdot (z - \gamma(\xi_{c'}^{(0)}))}$ est équivalent, modulo les unités principales, à

$$\frac{(\lambda(e_i) - \lambda(e_0)) \cdot (z - z_0)}{-z_0^2} .$$

Supposons finalement que $\gamma = \alpha_i^{-1} \cdot \gamma'$, avec γ' tel que son écriture réduite en termes des α_k ne commence pas par α_i. Par invariance du birapport par l'action de $\mathrm{PGL}_2(K)$ (ici de α_i), on a :

$$\frac{(z' - \gamma(\xi_{c'}^{(0)})) \cdot (z - \gamma(z_0))}{(z' - \gamma(z_0)) \cdot (z - \gamma(\xi_{c'}^{(0)}))} = \frac{(\alpha_i(z') - \gamma'(\xi_{c'}^{(0)})) \cdot (\alpha_i(z) - \gamma'(z_0))}{(\alpha_i(z') - \gamma'(z_0)) \cdot (\alpha_i(z) - \gamma'(\xi_{c'}^{(0)}))} .$$

Si $\gamma' \neq 1$, alors tous les termes de ce birapport sont non nuls modulo p (car $\gamma'(\xi_{c'}^{(0)}) \notin B_0$), et on voit que le quotient est une unité principale.

On va séparer les cas $\lambda(e_0) \in \mathbf{F}_p$ et $\lambda(e_0) \in \mathbf{F}_{p^2} \backslash \mathbf{F}_p$.

Supposons d'abord que $\lambda(e_0) \in \mathbf{F}_p$. On choisit un élément de $N(\Gamma)$ (normalisateur de Γ dans $\mathrm{PGL}_2(K)$) induisant w_p sur $\mathfrak{X}_K$ et tel que l'automorphisme sur $\mathcal{T}_\Gamma$ (noté encore w_p) fixe (en échangeant les sommets) l'arête $\tilde{e}_0$ reliant $\tilde{v_c}$ à $\tilde{v_{c'}}$. Alors par définition, $w_p(A) = A'$ et $w_p(C_i') = B_{i'}$ où i' est tel que $\lambda(e_{i'}) = \lambda(e_i)^p$. Comme w_p^2 fixe l'arête $\tilde{e_0}$, $w_p^2 = 1$ (car le stabilisateur de $\tilde{e_0}$ est compact et Γ est discret, donc w_p^2 est de

torsion mais Γ est sans torsion). On a $w_p(\tilde{v_{c'}}) = \tilde{v_c}$ donc $w_p(\tilde{v_c}) = \tilde{v_{c'}}$. Par conséquent, $w_p(z_0) = \xi_{c'}^{(0)}$ et $w_p(\xi_{c'}^{(0)}) = z_0$.On a aussi $w_p(\alpha_i(z')) = z$ (les deux sont proches de z_0 et $\lambda'(\tau(w_p(\alpha_i(z'))) = \lambda(\tau(\alpha_i(z'))) = \lambda(\tau(z')) = \lambda'(\tau(z)))$; à nouveau par invariance du birapport par $\mathrm{PGL}_2(K)$ (donc par w_p), on a :

$$\frac{(\alpha_i(z') - \xi_{c'}^{(0)})\cdot(\alpha_i(z) - z_0)}{(\alpha_i(z') - z_0)\cdot(\alpha_i(z) - \xi_{c'}^{(0)})} = \frac{(z - z_0)\cdot(w_p(\alpha_i(z)) - \xi_{c'}^{(0)})}{(z - \xi_{c'}^{(0)})\cdot(w_p(\alpha_i(z)) - z_0)} \ .$$

Ce dernier terme est égal, modulo les unités principales, à

$$\frac{(z - z_0)}{-z_0^2}\cdot(\lambda(e_i)^p - \lambda(e_0)) = \frac{(z - z_0)}{-z_0^2}\cdot(\lambda(e_i) - \lambda(e_0))^p \ .$$

Il suffit pour conclure la preuve de la formule (4), de montrer la :

Proposition 6.2. *On a*

$$lim\ \frac{(\lambda'\circ\tau(z))\cdot(z_0 - z)}{z_0^2} = 1 \ .$$

Démonstration. Cela découle du lemme 6.1 et de [6] Lemma 2.1. □

Supposons maintenant que $\lambda(e_0) \in \mathbf{F}_{p^2}\backslash\mathbf{F}_p$, et sans perte de généralité que $\lambda(e_0)^p = \lambda(e_g)$. Dans ce cas on choisit w_p tel que $w_p(\tilde{e_0}) = \tilde{e_g}$. Comme $w_p^2 \in \Gamma$, on a $w_p^2 = \alpha_g$ (cela découle de $w_p^2(\tilde{v_c}) = \tilde{v_g} = \alpha_g(\tilde{v_c})$ et que le stabilisateur d'un sommet dans $\mathcal{T}_\Gamma$ est trivial). Avec les mêmes notations que dans le cas précédent, on a $w_p(B_{i'}) = C_i'$, $w_p(z_0) = \xi_{c'}^{(0)}$, $w_p^{-1}(z_0) \in B_g$ et $w_p^{-1}(\alpha_i(z')) = z$. On utilise à nouveau l'invariance du birapport par w_p :

$$\frac{(\alpha_i(z') - \xi_{c'}^{(0)})\cdot(\alpha_i(z) - z_0)}{(\alpha_i(z') - z_0)\cdot(\alpha_i(z) - \xi_{c'}^{(0)})} = \frac{(z - z_0)\cdot(w_p^{-1}(\alpha_i(z)) - \alpha_g^{-1}(\xi_{c'}^{(0)}))}{(z - \alpha_g^{-1}(\xi_{c'}^{(0)}))\cdot(w_p^{-1}(\alpha_i(z)) - z_0)} \ .$$

Ce dernier terme est égal, modulo les unités principales, à

$$\frac{(z - z_0)}{-z_0^2}\cdot(\lambda(e_i)^p - \lambda(e_0)^p) = \frac{(z - z_0)}{-z_0^2}\cdot(\lambda(e_i) - \lambda(e_0))^p$$

On conclut par la même proposition que dans le cas précédent.

6.2. **Cas $i = j$.** Pour conclure cet article, prouvons le cas (5) du théorème 6. Notons $d = \mathrm{pgcd}(p-1, 12)$.

Fixons $0 \le i \le g$. Soit $\eta(z) = q^{\frac{1}{24}}\cdot\prod_{i\ge1}(1-q^i)$ la fonction eta de Dedekind, où $q = e^{2i\pi z}$, et $\Delta(z) = \eta(z)^{24}$. Soit $u(z) = \left(\frac{\Delta(pz)}{\Delta(z)}\right)^{\frac{1}{d}}$; on sait que c'est une fonction rationnelle de

$X_0(p) = M_{\Gamma_0(p)} \otimes \mathbf{Q}$. Soit μ dans le corps de fonctions de $X_{\mathbf{Q}} = M_{\Gamma_0(p)\cap\Gamma(2)} \otimes \mathbf{Q}$ tel que sur $\mathbf{C}$ on a :

$$\mu(z) = \frac{u(\frac{z+1}{2})^2}{u(z)} \ .$$

C'est une unité modulaire : μ est méromorphe sur $M_{\Gamma_0(p)\cap\Gamma(2)}(\mathbf{C}) = X(\mathbf{C})$. Comme le diviseur de u sur $X_0(p)$ est $\frac{p-1}{d} \cdot ((\infty) - (0))$, la proposition 7.1 de l'appendice montre que le diviseur de μ est $6 \cdot \frac{p-1}{d} \cdot ((\Gamma_0(p) \cap \Gamma(2) \cdot \xi_{c'}) - (\Gamma_0(p) \cap \Gamma(2) \cdot \xi_c))$.

Pour $z \in \mathfrak{H}_\Gamma$, soit

$$\nu(z) = \left(\prod_{0\le\ell\le g} \theta(\xi_{c'}^{(\ell)}, z_0, z) \right)^{\frac{12}{d}} \ .$$

Proposition 6.3. *Les fonctions ν et μ sont proportionnelles.*

Concluons la preuve du théorème 6 avant de prouver cette proposition. Soient z et z' comme dans la définition de Φ. Par définition, on a

$$\bar{\Phi}(e_i, \hat{e})^{\frac{12}{d}} = \lim \ (\lambda' \circ \tau(z))^{\frac{12}{d}\cdot 2\cdot\frac{p-1}{2}} \cdot \frac{\nu(z')}{\nu(z)} \ .$$

La proposition 6.3 montre que

$$\bar{\Phi}(e_i, \hat{e})^{\frac{12}{d}} = \lim \ (\lambda' \circ \tau(z))^{\frac{12}{d}\cdot 2\cdot\frac{p-1}{2}} \cdot \frac{\mu(z')}{\mu(z)} \ . \tag{6}$$

La fonction μ est algébrique en $\tau(z)$, et comme $\tau(z') = w_p(\tau(z))$, $\frac{\mu(z')}{\mu(z)}$ est algébrique en $\tau(z)$. C'est aussi le cas pour λ'. Donc dans (6), il suffit de faire un calcul du développement de Fourier au voisinage de la classe de la pointe ξ_c de X (rappelons que $\lambda'(\xi_c) = \lambda(\xi_{c'}) = \infty$ car $\xi_{c'}$ se réduit, tout comme ξ_c, sur la pointe 1 de $X(2)$).

On sait que λ commence son développement en $\frac{-1}{16q_{c'}}$ où $q_{c'}$ est une uniformisante en $\xi_{c'}$ (cf. Appendice, cas $N = 2$). Comme $\mu(z') = p^{-\frac{12}{d}} \cdot \mu(z)^{-1}$, la limite cherchée vaut $\left(\left(-\frac{1}{16}\right)^{p-1} \cdot p^{-1}\right)^{\frac{12}{d}} = p^{-\frac{12}{d}}$ modulo les unités principales, comme annoncé dans le théorème.

Prouvons maintenant la proposition 6.3. On a vu que les deux fonctions ont pour diviseur $\frac{12}{d} \cdot (g+1) \cdot (\Gamma_0(p) \cap \Gamma(2) \cdot \xi_{c'} - \Gamma_0(p) \cap \Gamma(2) \cdot \xi_c) = \frac{12}{d} \cdot \frac{p-1}{2} \cdot (\Gamma_0(p) \cap \Gamma(2)\xi_{c'} - \Gamma_0(p) \cap \Gamma(2)\xi_c)$. Donc la fonction $\frac{\nu}{\mu}$ est entière sans zéro sur $\mathfrak{H}_\Gamma$. Nous allons utiliser le critère du corollaire 2.4 de [6] pour conclure. Si ϵ est une couronne de $\mathfrak{H}_\Gamma$ et f une fonction analytique sur $\mathfrak{H}_\Gamma$, le degré $\deg_\epsilon(f)$ de la restriction de f à ϵ est défini par de Shalit dans la section 2.2 de [6]. Il suffit de montrer que pour toute arête e de $\mathcal{T}_\Gamma$, le degré de μ et ν sur la courone $\rho^{-1}(e)$ est le même. Soit ϵ une telle couronne.

Il est clair que $\deg_\epsilon(\nu) = \frac{12}{d}$. Soient $F = \tau(A)$ et $F' = \tau(A')$ des affinoïdes de X. Montrons d'abord que $\mid \mu(z) \mid = \mid p \mid^{-12}$ pour tout $z \in F$ et que $\mid \mu(z') \mid = 1$ pour tout $z' \in F'$. On voit facilement (sur $\mathbf{C}$) que $\mu \circ w_p = p^{-\frac{12}{d}} \cdot \mu^{-1}$. Il suffit donc de montrer la première égalité de normes. L'affinoïde F paramètre les (E, C, α) avec E une courbe elliptique sur de bonne réduction en p.

Si $z \in F$ correspond à $(E, C, \alpha = (P_1, P_2))$, et que ω est une différentielle de Néron sur E (sur l'anneau des entiers d'une extension finie de $\mathbf{Q}_p$), alors $\Delta(z) = \Delta(E, \omega)$, $\Delta(pz) = \Delta(E/C, \frac{1}{p} \cdot \omega')$ où ω' est aussi une différentielle de Néron, $\Delta(\frac{z+1}{2}) = \Delta(E/E[2], \omega')$ et $\Delta(p \cdot \frac{z+1}{2}) = \Delta(E/(E[2]+C), \frac{1}{p} \cdot \omega')$. Comme Δ est de poids 12 et que $\Delta(E, \omega)$ est une unité p-adique car E a bonne réduction, on a :

$$\mid \mu(z) \mid = \mid p \mid^{-\frac{12}{d}}$$

comme voulu.

Concluons la preuve de la proposition 6.3. Si f est une fonction analytique rigide sur la couronne $\epsilon = \{z, \mid p \mid < z < 1\}$. Alors on voit avec la définition du degré que :

$$\deg_\epsilon(f) = \lim_{\,|z|\to|p|} \mathrm{ord}(f(z)) - \lim_{\,|z|\to 1} \mathrm{ord}(f(z))$$

(où ord est la valuation normalisée par $\mathrm{ord}(p) = 1$). Donc $\deg_\epsilon(\mu) = 0 - (-\frac{12}{d}) = \frac{12}{d}$, ce qui conclut la preuve de la proposition 6.3.

7. Appendice : quelques rappels sur $M_{\Gamma(N)\cap\Gamma_0(p)}(\mathbf{C})$

Soit ϵ l'automorphisme de $X(\mathbf{C}) = (\Gamma(N)\cap\Gamma_0(p))\backslash\mathcal{H}$ agissant par $\epsilon(E, C, (P, Q)) = (E, C, (Q, P))$ (sauf pour $N = 2$, cela change l'accouplement de Weil de (P, Q), mais on identifie les copies de $X(\mathbf{C})$ correspondant aux différentes valeurs de l'accouplement de Weil).

L'involution d'Atkin–Lehner w_p induit sur $X(\mathbf{C})$ l'automorphisme $z \mapsto \epsilon(\frac{-1}{pz})$. En effet, en termes d'espace de modules, z correspond à $(E, C, \alpha) = (\mathbf{Z}/(\mathbf{Z} + \mathbf{Z}\cdot z), < \frac{1}{p} >, (\frac{z}{2}, \frac{1}{2}))$ et $\frac{-1}{pz}$ correspond à $(\mathbf{Z}/(\mathbf{Z}\cdot z + \frac{-1}{p}\cdot\mathbf{Z}), < \frac{z}{p} >, (\frac{-1}{2p}, \frac{-z}{2})) = (\mathbf{Z}/(\mathbf{Z}\cdot z + \frac{1}{p}\cdot\mathbf{Z}), < \frac{z}{p} >, (\frac{1}{2p}, \frac{z}{2})) = (E/C, E[p]/C, \alpha')$ où α' est obtenu en composant α avec l'automorphisme $(P, Q) \mapsto (Q, P)$.

Rappelons que la courbe $X(\mathbf{C})$ a pour genre 0 ssi $N \in \{1, 2, 3, 4, 5\}$. On notera $c \in X(\mathbf{C})$ l'unique pointe telle que $\lambda(c) = \infty$, et $c' = w_p(c)$. On va expliciter H (son développement de Fourier) et c pour $N = 2$.

7.1. **Cas $N = 2$.** Posons $X = M_{\Gamma_0(p)\cap\Gamma(2)}$ sur $\mathbf{Z}[\frac{1}{2}]$. La courbe $X(\mathbf{C})$ a $6 = 2\cdot\mathrm{Card}(\mathbf{P}^1(\mathbf{F}_2))$ pointes, dont des représentants sont 1, $\frac{1}{2}$, 0, $\frac{1}{p}$, $\frac{2}{p}$ et ∞ (les trois premières sont au-dessus de 0 sur $M_{\Gamma_0(p)}(\mathbf{C})$, et les trois dernières au-dessus de ∞ ; w_p échange dans cet ordre les pointes du premier groupe avec celles du deuxième groupe). Le genre de X est $g = p-2$, donc X a $g+1 = \frac{p-1}{2}$ points supersinguliers dans sa fibre spéciale en p. Le hauptmodul $\lambda : X(2) \xrightarrow{\sim} \mathbf{P}^1$ (défini sur $\mathbf{Z}[\frac{1}{2}]$) induit sur $\mathbf{C}$ la fonction méromorphe modulaire classique pour $\Gamma(2)$:

$$\lambda(z) = 16q\prod_{n\geq 1}\left(\frac{1+q^{2n}}{1+q^{2n-1}}\right)^8 \tag{7}$$

où $q = e^{i\pi z}$. La courbe $X(2)$ a trois pointes dont des représentants sont 0, 1 et ∞. On a $\lambda(0) = 1$, $\lambda(i\infty) = 0$ et $\lambda(1) = \infty$ (cf. [8] p. 115). Notons c la pointe de $X(\mathbf{C})$ dans la classe de 1 et $c' = w_p(c)$. La fonction λ vérifie, pour tout $z \in \mathfrak{H}$,

$$\lambda(z+1) = \frac{\lambda(\frac{-1}{z}) - 1}{\lambda(\frac{-1}{z})}$$

(cf. [8] p.115). En particulier, le développement de Fourier autour de la pointe 1 de $X(2)(\mathbf{C})$ commence par $\frac{-1}{16q_1}$ où $q_1 = e^{\frac{i\pi}{1-z}}$ est une uniformisante en 1 dans $X(2)(\mathbf{C})$.

Si x est une pointe de X, notons q_x une uniformisante locale de $X(\mathbf{C})$.

Proposition 7.1. *Notons $q'_0 = e^{-\frac{2i\pi}{pz}}$ et $q'_\infty = e^{2i\pi z}$ des uniformisantes des pointes associées à 0 et ∞ sur $X_0(p)(\mathbf{C})$. Soit $\pi, \pi' : X \to X_0(p)$ données sur $\mathbf{C}$ par $z \mapsto z$ et $z \mapsto \frac{z+1}{2}$ respectivement. Alors on a les relations suivantes :*

- $q'_0 \circ \pi = q_1^2$ *et* $q'_0 \circ \pi' = q_1^4$ *au voisinage de* 1,
- $q'_\infty \circ \pi = q_{\frac{1}{p}}^2$ *et* $q'_\infty \circ \pi' = q_{\frac{1}{p}}^4$ *au voisinage de* $\frac{1}{p}$,
- $q'_0 \circ \pi = q_{\frac{1}{2}}^2$ *et* $q'_0 \circ \pi' = q_{\frac{1}{2}}$ *au voisinage de* $\frac{1}{2}$,
- $q'_\infty \circ \pi = q_{\frac{2}{p}}^2$ *et* $q'_\infty \circ \pi' = q_{\frac{2}{p}}$ *au voisinage de* $\frac{2}{p}$,
- $q'_0 \circ \pi = q_0^2$ *et* $q'_0 \circ \pi' = q_0$ *au voisinage de* 0 *et*
- $q'_\infty \circ \pi = q_\infty^2$ *et* $q'_\infty \circ \pi' = q_\infty$ *au voisinage de* ∞.

Soit ψ la correspondance $X \to X_0(p)$ donnée sur les diviseurs complexes par $(z) \mapsto 2(\frac{z+1}{2}) - (z)$. Alors

$$\psi^{-1}((0) - (\infty)) = 6((1) - (\frac{1}{p}))\ .$$

Démonstration. Les relations entre les uniformisantes sont des calculs fastidieux mais directs, dont on trouvera un exemple dans la Proposition 1 de [7]. □

TABLE 1. Indices de ramification en les pointes.

Pointe de X	Uniformisante	π_{-1}	π_0	π_1	π_2	π_3
0	$e^{\frac{-2i\pi}{3pz}}$	3	1	1	1	9
$\frac{1}{3}$	$e^{\frac{-2i\pi}{9p(3z-1)}}$	3	1	1	1	9
1	$e^{\frac{-2i\pi}{3p(z-1)}}$	3	1	1	9	1
$\frac{1}{2}$	$e^{\frac{-i\pi}{3p(2z-1)}}$	3	1	9	1	1

7.2. **Cas $N=3$.** Rappelons qu'on a supposé $p\equiv 1 \pmod 3$. Posons $X = M_{\Gamma_0(p)\cap\Gamma(3)}$ sur $\mathbf{Z}[\frac{1}{3}]$.

La courbe $X(\mathbf{C})$ a $8 = 2\cdot\mathrm{Card}(\mathbf{P}^1(\mathbf{F}_3))$ pointes dont des représentants sont 0, 1, $\frac{1}{3}$, $\frac{1}{2}$, ∞, $\frac{2}{p}$, $\frac{1}{p}$, $\frac{3}{p}$ (les trois premières sont au-dessus de 0 sur $M_{\Gamma_0(p)}(\mathbf{C})$, et les trois dernières au-dessus de ∞ ; w_p échange les pointes du premier groupe avec celles du deuxième groupe). Le genre de X est $g=p-2$, donc X a $g+1=p-1$ points supersinguliers dans sa fibre spéciale en p. On choisit le hauptmodul $H : X(3)\xrightarrow{\sim}\mathbf{P}^1$ (défini sur $\mathbf{Z}[\frac{1}{3}]$) de sorte que sur $\mathbf{C}$ on obtienne la fonction méromorphe modulaire classique pour $\Gamma(3)$:

$$H(z) = \frac{\eta(\frac{z}{3(1-z)})}{\eta(\frac{3z}{1-z})} \tag{8}$$

où η est la fonction eta de Dedekind. Notons ξ_c la pointe de $X(\mathbf{C})$ dans la classe de 1 et $\xi_{c'} = w_p(\xi_c)$. La fonction H a un pôle d'ordre 2 en la pointe 1 de $X(3)$ (car une uniformisante en 1 est $e^{\frac{-2i\pi z}{3(z-1)}}$). Pour $0\le i\le 2$ posons $\pi_i(z) = \frac{z+i}{3}$ et notons $\pi_{-1}(z)=z$ et $\pi_3(z)=3z$. Alors les π_i induisent des flèches $X\to X_0(p)$. Nous avons calculé dans la table 1 l'indice de ramification de ces flèches aux pointes de X (au-dessus de 0, le résultat étant le même aux pointes au-dessus de ∞ grâce à w_p). On pose alors

$$\mu(z) = \frac{u(\pi_2(z))^3}{u(\pi_{-1}(z))} = \frac{u(\frac{z+2}{3})^3}{u(z)}$$

où comme dans le cas $N=2$, $u(z) = \left(\frac{\Delta(pz)}{\Delta(z)}\right)^{\frac{1}{d}}$ (avec $d=\mathrm{pgcd}(p-1,12)$). Le diviseur de μ est $24\cdot\frac{p-1}{d}\cdot((\Gamma_0(p)\cap\Gamma(3)\cdot\xi_{c'}) - (\Gamma_0(p)\cap\Gamma(3)\cdot\xi_c))$. Son degré le long des couronnes est $\frac{24}{d}$. On pose alors :

$$\nu(z) = \left(\prod_{0\le\ell\le g}\theta(\xi_{c'}^{(\ell)}, z_0, z)\right)^{\frac{24}{d}}.$$

La même preuve que dans la proposition 6.3 montre que μ et ν sont proportionnelles. Un calcul de q développement prouve l'analogue du théorème 1.1 dans le cas $N = 3$, avec λ remplacé par H.

Références

[1] P. Deligne et M. Rapoport, *Les Schémas de Modules de Courbes Elliptiques*, Modular Functions of One Variable II Volume 349 of the series Lecture Notes in Mathematics pp 143-316

[2] A. Grothendieck et J. Dieudonné, *étude cohomologique des faisceaux cohérents*, J. Publ. Math. IHES, 4,8,11,17,20,24,28,32

[3] Y. Manin et V. Drinfeld, *Periods of p-adic Schottky groups*, Journal Crelle, 0262-0263 (1973) : 239-247.

[4] L. Gerritzen et M. Van der Put, *Schottky Groups and Mumford Curves*. Notes in Mathematics-Volume 817-1980.

[5] D. Mumford, *An analytic construction of degenerating curves over complete local rings*. Compositio Mathematica 24.2 (1972) :129-174.

[6] E. de Shalit, *On the p-adic periods of* $X_0(p)$. Mathematische Annalen (1995). Volume : 303, Issue : 3, page 457-472

[7] Merel, *L'accouplement de Weil entre le sous-groupe de Shimura et le sous-groupe cuspidal de* $J_0(p)$. J. Reine Angew. Math (1996). Volume : 477, pages 71 – 115.

[8] J. Borwein et P. Borwein, *Pi and the AGM*. Canadian Mathematical Society Series of Monographs and Advanced Texts, 4 (1998), pages xvi+414.

Universitat Politècnica de Catalunya
E-mail address: adel.betina@upc.edu

Université Paris 7
E-mail address: emmanuel.lecouturier@imj-prg.fr